Applications - Chapitre 13

Solide indéformable avec un axe fixe et gyroscopes

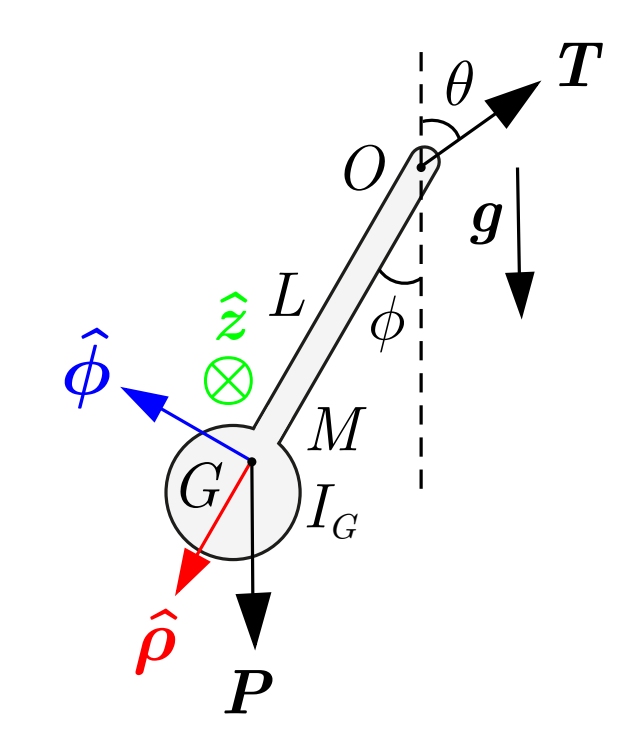


A.13.2 Barre mince en rotation

A.13.2 Barre mince en rotation

- Un pendule physique est un balancier constitué d'une barre et d'un cylindre de masse totale M. Le pendule oscille autour d'un axe horizontal qui passe par le point O.
- Soient $OG = L \hat{\rho}$ le vecteur position du centre de masse G, I_O et I_G , les moments d'inertie du pendule par rapport aux axes horizontaux parallèles qui passent par les points O et G.
- Théorème d'Huygens-Steiner :

$$I_O = I_G + ML^2 (A.13.1)$$



- Pour un solide indéformable, contrairement à un point matériel, la tension T exercée au point d'attache O n'est pas orientée selon la droite OG qui passe par le centre de masse G (i.e. $\theta \neq \phi$).
- Accélération angulaire :

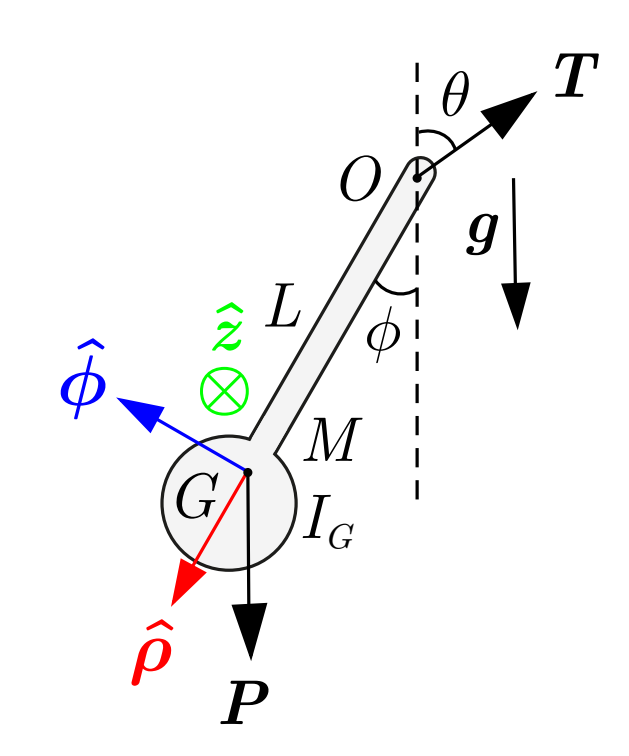
$$\dot{\hat{\Omega}} = \ddot{\phi} \,\hat{z} \tag{A.13.2}$$



- Forces extérieures :

$$\mathbf{P} = M \mathbf{g} = M g \left(\cos\phi \,\hat{\boldsymbol{\rho}} - \sin\phi \,\hat{\boldsymbol{\phi}}\right)$$

$$T = -T \left(\cos \left(\theta - \phi \right) \hat{\boldsymbol{\rho}} + \sin \left(\theta - \phi \right) \hat{\boldsymbol{\phi}} \right)$$



• Théorème du moment cinétique : $m{L}_O = I_O \, m{\Omega}$ où $I_O = \mathrm{cste}$

$$\sum_{i=0}^{i} M_O^{\text{ext}} = OG \times P + \underbrace{OO \times T}_{i=0} = I_O \dot{\Omega} = \dot{L}_O$$

$$\Rightarrow L\hat{\boldsymbol{\rho}} \times Mg\left(\cos\phi\hat{\boldsymbol{\rho}} - \sin\phi\hat{\boldsymbol{\phi}}\right) = I_O\ddot{\phi}\hat{\boldsymbol{z}}$$

selon
$$\hat{z}$$
: $-MgL\sin\phi = I_O\ddot{\phi} = (I_G + ML^2)\ddot{\phi}$

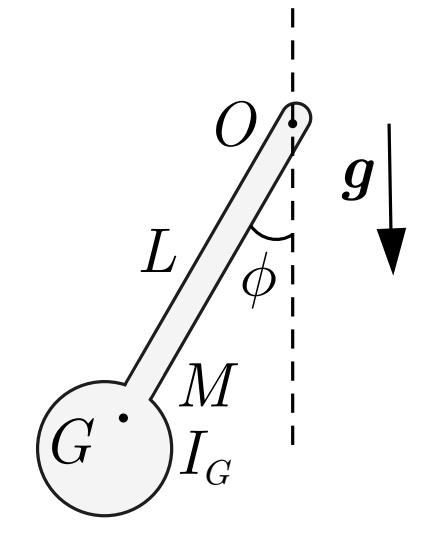
(A.13.5)

• Equation du mouvement :

$$\ddot{\phi} + \frac{MgL}{I_C + ML^2} \sin \phi = 0 \tag{A.13.6}$$

• Approximation des petits angles : $\sin \phi \simeq \phi$

$$(A.13.6) \quad \Rightarrow \quad \ddot{\phi} + \omega^2 \, \phi = 0 \tag{A.13.7}$$



• Pulsation :

$$\omega = \sqrt{\frac{MgL}{I_G + ML^2}} \tag{A.13.8}$$

• Période :

$$T = \frac{2\pi}{\omega} = 2\pi \sqrt{\frac{I_G + ML^2}{MgL}} = \sqrt{1 + \frac{I_G}{ML^2}} \left(2\pi \sqrt{\frac{L}{g}}\right)$$
 (A.13.9)

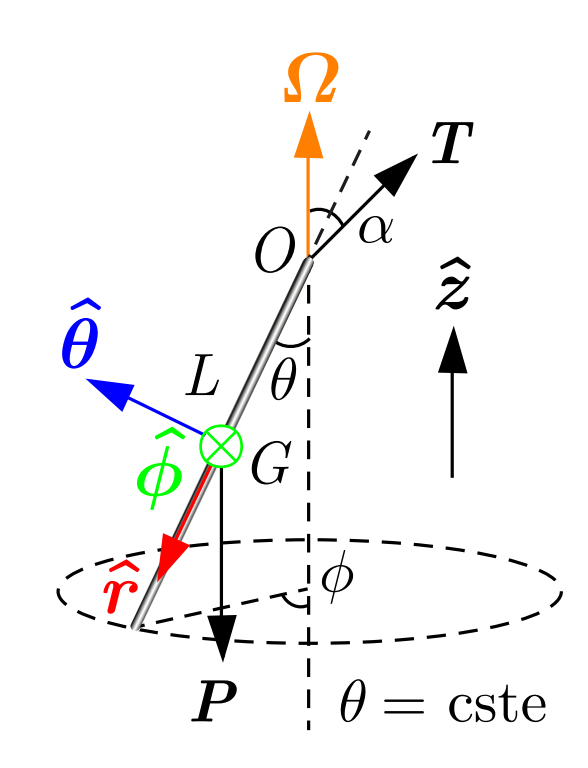
• La période T du pendule physique est plus longue que celle du pendule mathématique de même longueur L (i.e. $I_G = 0$).

A.13.2 Barre mince en rotation

A.13.2 Barre mince en rotation



- Une barre indéformable et homogène de masse M, de longueur L et d'épaisseur négligeable est fixée à l'une de ses extrémité au point O. L'orientation de la barre fait un angle $\theta={\rm cste}$ avec l'axe vertical passant par l'origine O.
- La barre est en rotation sans frottement à vitesse angulaire $\Omega = \Omega \hat{z} = \mathbf{cste}$ autour de l'axe vertical.
- Soit $\left(\hat{r},\hat{\theta},\hat{\phi}\right)$ le repère d'inertie sphérique lié à la barre.



• Le moment d'inertie de la barre rapport à l'axe principal d'inertie radial Gr est négligeable, i.e. $I_{G,r}=0$. Les moments d'inertie de la barre par rapport aux axes principaux d'inertie nodal $G\theta$ et azimutal $G\phi$ sont égaux :

$$I_{G,\theta} = I_{G,\phi} \equiv I_G = \frac{1}{12} ML^2$$
 (A.13.10)

• Vitesse angulaire :

$$\mathbf{\Omega} = \Omega \,\hat{\mathbf{z}} = \Omega \left(-\cos\theta \,\hat{\mathbf{r}} + \sin\theta \,\hat{\boldsymbol{\theta}} \right) \qquad (A.13.11)$$

- Forces extérieures :
 - \bigcirc Poids : en G

$$\mathbf{P} = M \mathbf{g} = -Mg \hat{\mathbf{z}}$$

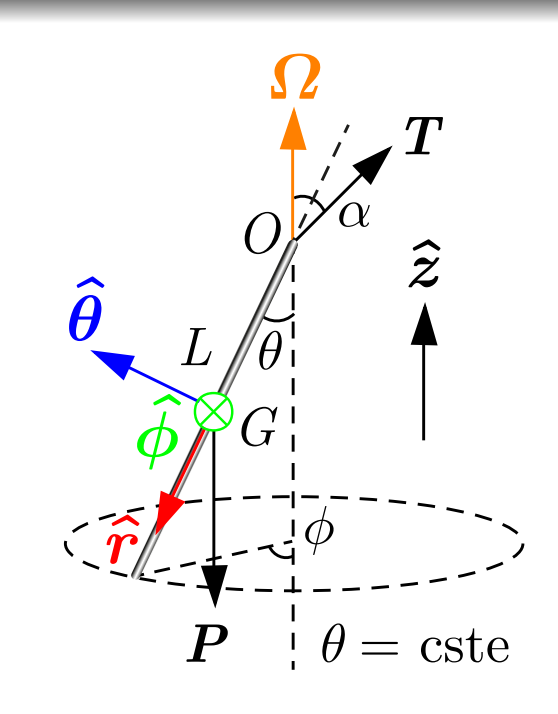
$$= Mg \left(\cos\theta \hat{\mathbf{r}} - \sin\theta \hat{\boldsymbol{\theta}}\right)$$
(A.13.12)

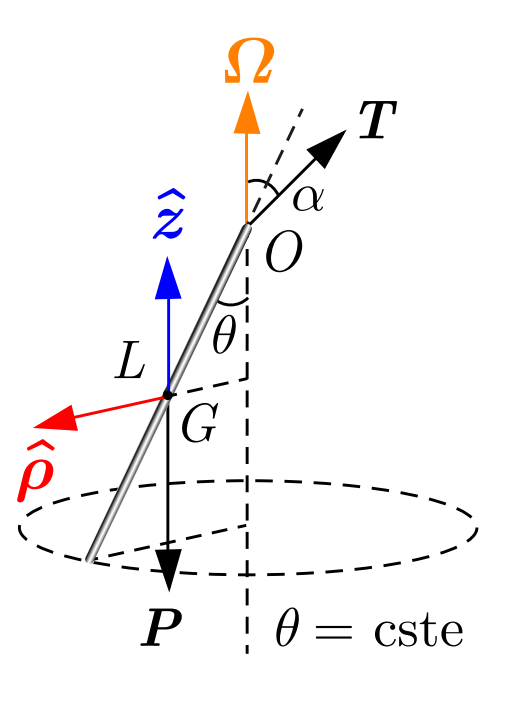
 $oldsymbol{0}$ Tension : en O

$$T = T \left(-\sin \alpha \,\hat{\boldsymbol{\rho}} + \cos \alpha \,\hat{\boldsymbol{z}} \right) \qquad (A.13.13)$$
$$= -T \left(\cos \left(\alpha - \theta \right) \,\hat{\boldsymbol{r}} + \sin \left(\alpha - \theta \right) \,\hat{\boldsymbol{\theta}} \right)$$

Accélération du centre de masse : centripète

$$\mathbf{A}_G = -\frac{L}{2}\sin\theta\,\Omega^2\,\hat{\boldsymbol{\rho}} \tag{A.13.14}$$





• Théorème du centre de masse :

$$\sum \mathbf{F}^{\text{ext}} = \mathbf{P} + \mathbf{T} = M \mathbf{A}_G \qquad (A.13.15)$$

selon
$$\hat{\boldsymbol{\rho}}$$
: $-T\sin\alpha = -M\frac{L}{2}\sin\theta\Omega^2$

selon
$$\hat{z}$$
: $-Mg + T\cos\alpha = 0$

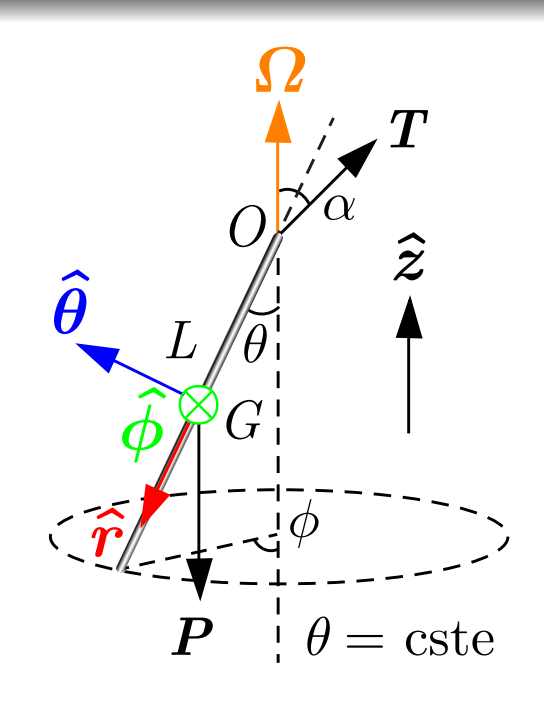


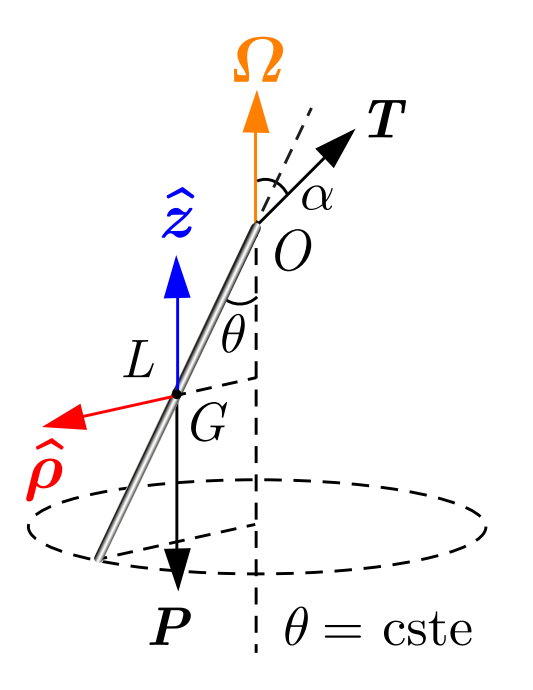
$$T\sin\alpha = \frac{1}{2}ML\sin\theta\Omega^2 \qquad (A.13.16)$$

$$T\cos\alpha = Mg \tag{A.13.17}$$

ullet Orientation de la tension : $\left(A.13.16\right)/\left(A.13.17\right)$

$$\tan \alpha = \frac{T \sin \alpha}{T \cos \alpha} = \frac{1}{2} \frac{L \Omega^2}{g} \sin \theta \neq \tan \theta \ (A.13.18)$$





ullet Moment cinétique : $oldsymbol{L}_G = oldsymbol{\mathsf{I}}_G \, oldsymbol{\Omega}$

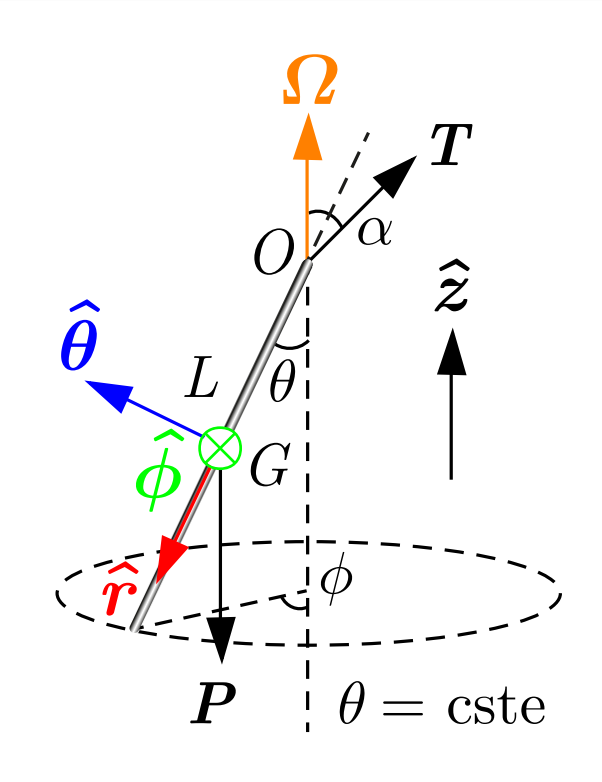
$$L_{G} = \underbrace{I_{G,r}}_{=0} \Omega_{r} \hat{r} + \underbrace{I_{G,\theta}}_{\equiv I_{G}} \Omega_{\theta} \hat{\theta} + I_{G,\phi} \underbrace{\Omega_{\phi}}_{=0} \hat{\phi}$$

$$= I_{G} \Omega \sin \theta \hat{\theta} \qquad (A.13.19)$$

Formule de Poisson :

$$\dot{\hat{\boldsymbol{\theta}}} = \boldsymbol{\Omega} \times \hat{\boldsymbol{\theta}} = \Omega \left(-\cos\theta \,\hat{\boldsymbol{r}} + \sin\theta \,\hat{\boldsymbol{\theta}} \right) \times \hat{\boldsymbol{\theta}}$$

$$= -\Omega\cos\theta \,\hat{\boldsymbol{\phi}} \tag{A.13.20}$$



Dérivée temporelle du moment cinétique :

$$\dot{\mathbf{L}}_G = I_G \,\Omega \sin\theta \,\dot{\hat{\boldsymbol{\theta}}} = -I_G \,\Omega^2 \sin\theta \cos\theta \,\hat{\boldsymbol{\phi}} \tag{A.13.21}$$

Moment de force extérieure : tension en O

$$\sum \boldsymbol{M}_{G}^{\text{ext}} = \boldsymbol{G}\boldsymbol{O} \times \boldsymbol{T} = \left(-\frac{L}{2}\,\hat{\boldsymbol{r}}\right) \times \left(-T\left(\cos\left(\alpha - \theta\right)\,\hat{\boldsymbol{r}} + \sin\left(\alpha - \theta\right)\,\hat{\boldsymbol{\theta}}\right)\right)$$
$$= \frac{1}{2}TL\sin\left(\alpha - \theta\right)\,\hat{\boldsymbol{\phi}} \tag{A.13.22}$$



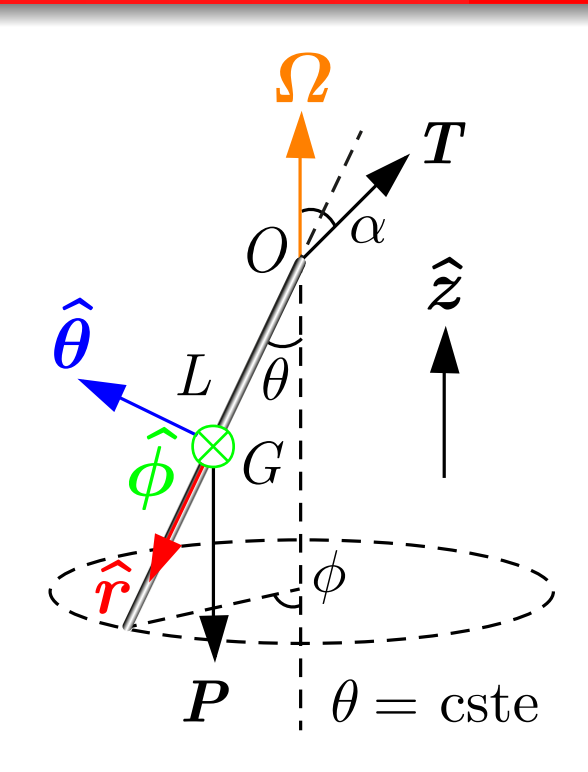
Théorème du moment cinétique :

$$\sum M_G^{\text{ext}} = \dot{\boldsymbol{L}}_G \tag{A.13.23}$$

selon
$$\hat{\boldsymbol{\phi}}$$
: $\frac{1}{2}TL\sin(\alpha-\theta) = -I_G\Omega^2\sin\theta\cos\theta$

• Formule de trigonométrie :

$$\sin(\alpha - \theta) = \sin\alpha\cos\theta - \cos\alpha\sin\theta \qquad (A.13.24)$$



Théorème du moment cinétique :

$$TL\sin\alpha\cos\theta - TL\cos\alpha\sin\theta = -2I_G\Omega^2\sin\theta\cos\theta$$
 (A.13.25)

 \bullet Théorème du centre de masse : $(A.13.16) \cdot L$ et $(A.13.17) \cdot L$

$$TL\sin\alpha = \frac{1}{2}ML^2\sin\theta\Omega^2$$
 et $TL\cos\alpha = MgL$ (A.13.26)

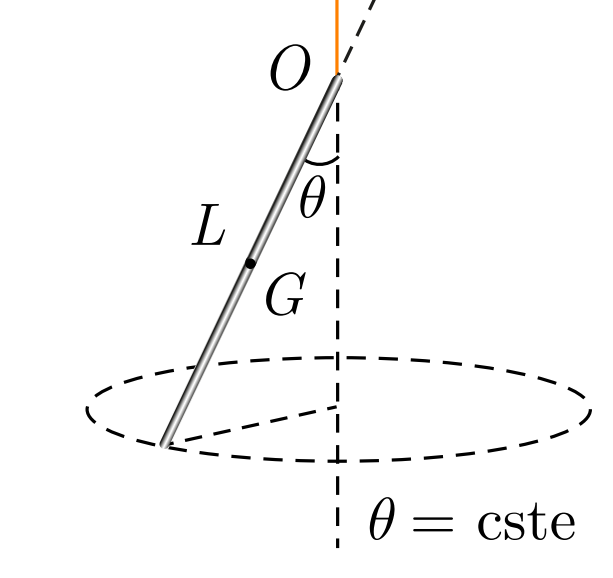
$$\Rightarrow \frac{1}{2}ML^2 \sin\theta \cos\theta \Omega^2 - MgL \sin\theta = -2I_G \Omega^2 \sin\theta \cos\theta (A.13.27)$$

• Equation du mouvement : $(A.13.27)/\sin\theta$

$$\left(\frac{1}{2}ML^2 + 2I_G\right)\Omega^2\cos\theta = MgL \qquad (A.13.28)$$

Orientation de la barre :

$$\cos \theta = \frac{MgL}{\left(\frac{1}{2}ML^2 + 2I_G\right)\Omega^2} \tag{A.13.29}$$



• Angle de nutation : $I_G = \frac{1}{12} \, M L^2$

$$\theta = \arccos\left(\frac{1}{1 + \frac{4I_G}{ML^2}} \frac{g}{\frac{L}{2}\Omega^2}\right) = \arccos\left(\frac{3}{4} \frac{g}{\frac{L}{2}\Omega^2}\right) \tag{A.13.30}$$

Pour $I_G = 0$, on retrouve l'angle d'inclinaison vertical θ d'un pendule cônique de masse M, de longueur L/2 tournant à vitesse angulaire Ω .